

УДК 624.041

**ГЕОМЕТРИЧЕСКИЕ ХАРАКТЕРИСТИКИ ТОНКОСТЕННОГО  
Z-ОБРАЗНОГО СТЕРЖНЯ С ОТБОРТОВКОЙ И С ЗАКРУГЛЕНИЕМ**

***Волков Владимир Павлович,***

*Пензенский государственный университет архитектуры и строительства,  
г. Пенза,*

*кандидат технических наук, доцент кафедры «Механика».*

***Кустова Ольга Владимировна,***

*Пензенский государственный университет архитектуры и строительства,  
г. Пенза,*

*аспирант.*

**Аннотация**

Статья посвящена определению геометрических характеристик гнутого тонкостенного стержня Z-образного профиля с отбортовкой и с закруглением при расчете его на растяжение и изгиб с кручением. Приведены расчетные формулы для определения относительных значений длины контура, главных осевых моментов инерции и главных осевых моментов сопротивления, главных секториальных координат.

**Ключевые слова:** гнутый тонкостенный стержень, Z-образный профиль, главные центральные оси сечения, главные осевые моменты инерции, главные осевые моменты сопротивления, главные секториальные координаты.

**GEOMETRIC CHARACTERISTICS THIN-WALLED  
Z-SHAPED ROD WITH EDGE AND WITH ANY CURVING**

***Volkov Vladimir Pavlovich,***

*Penza State University of Architecture and Construction, Penza,*

*Candidate of Sciences, Associate Professor of the department «Mechanics».*

***Kustova Olga Vladimirovna,***

*Penza State University of Architecture and Construction, Penza,*

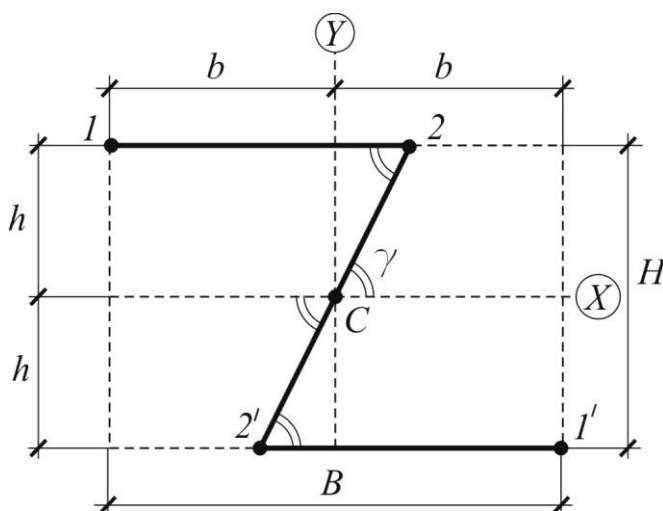
## Abstract

Article is devoted to definition of the geometric characteristics of a buckler thin-walled rod Z-shaped profile with edge and with any curving for calculation this on tension, curve, turn. To deduce a formula of calculation dimensions length of contours, main axes moments of inertia and main axes moments of resistance, main sector coordinates.

**Keywords:** buckler thin-walled rod, Z-shaped profile, the main central axes section, main axes moments of inertia, main axes moments of resistance, main sector coordinates.

Условные обозначения:  $XY$  – главные центральные оси сечения;  $B=2b$  – габаритная ширина профиля сечения;  $H=2h$  – габаритная высота срединной линии профиля сечения;  $L$  – полная длина срединной линии профиля сечения.

Относительные геометрические размеры тонкостенного Z-образного сечения постоянной толщины  $\delta$  без учета закругления и без отбортовки (рисунок 1) определяются из [1]



$$0 < \gamma < \frac{\pi}{2},$$
$$\frac{B}{H} \Rightarrow \sqrt{\left(\frac{\cos^2 \gamma}{1 - \cos^2 \gamma}\right) \cdot \left(1 + \frac{2}{3 \cos \gamma}\right)};$$
$$\frac{L}{H} \Rightarrow \frac{B}{H} + \frac{1 + \cos \gamma}{\sin \gamma}.$$

Рисунок 1 – Z-образное сечение без закругления

Задача определения геометрических размеров гнутого тонкостенного стержня Z-образного сечения постоянной толщины  $\delta$  с учетом закругления  $r$ ,

но без отбортовки, (рисунок 2) рассмотрена в [2], [3].

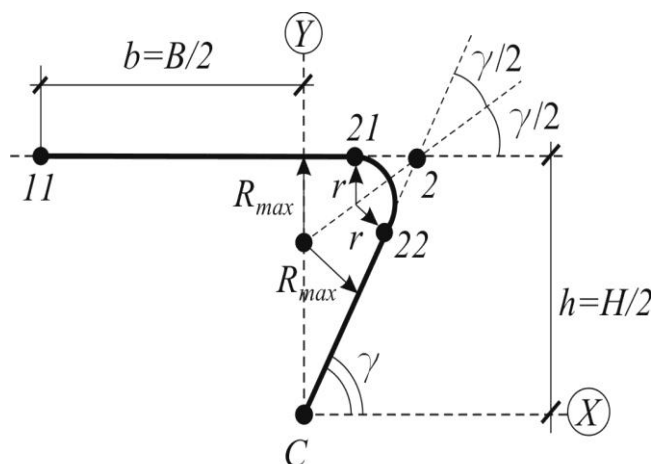
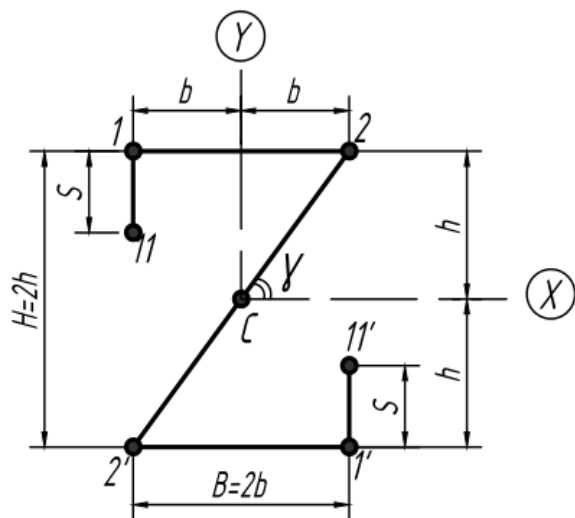


Рисунок 2 – Верхняя половина Z-образного сечения с закруглением

Задача определения геометрических размеров гнутого тонкостенного стержня Z-образного сечения постоянной толщины  $\delta$  с отбортовкой  $s$ , но без закругления (рисунок 3) рассмотрена в [4]:



$$0 < s \leq h,$$

$$\frac{s}{h} = \left(1 - \sqrt{1 - \frac{2}{3 \cdot \sin \gamma}}\right),$$

где  $\sin \gamma \geq \frac{2}{3}$ , т. е.

$$\frac{H}{B} \geq \frac{2}{\sqrt{5}} \approx 0,89443.$$

Рисунок 3 – Z-образное сечение с отбортовкой

Рассмотрим задачу определения геометрических размеров гнутого тонкостенного стержня Z-образного сечения постоянной толщины  $\delta$  с отбортовкой  $s$  и закруглением  $r$  (рисунок 4):

Дано:  $B, H$  (где  $0,73 \leq \gamma < \frac{\pi}{2} \approx 1,57$ ) и  $r$       Найти:  $s$ .

$$0 < r < R_{max} \Rightarrow \frac{H}{2} \cdot \frac{\tan(\gamma/2)}{\tan \gamma}, \quad 0 < s < 2 \cdot R_{max}.$$

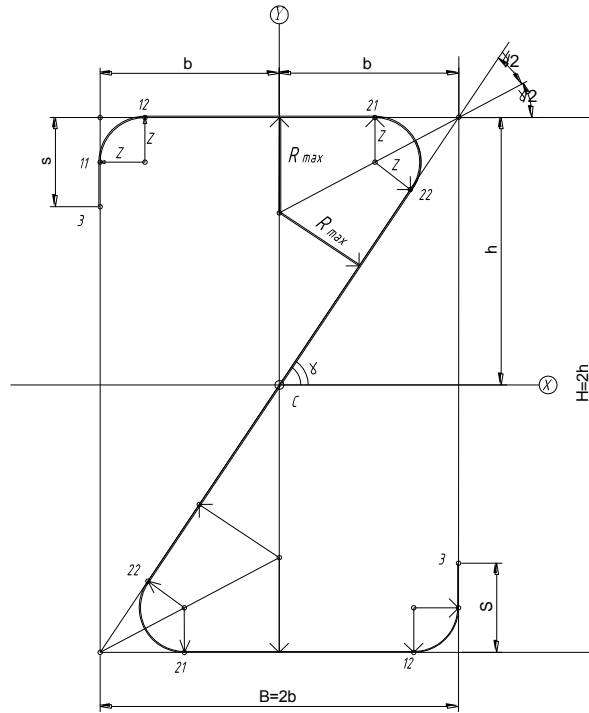


Рисунок 4 – Z-образное сечение с отбортовкой и с закруглением

Учитывая центральную симметрию, рассмотрим верхнюю половину сечения. Декартовы координаты  $x, y$  характерных точек и длины соответствующих участков  $l$  (рисунок 4):

$$\begin{aligned} x_{12} &= -b + r; & y_{12} &= h; & l_{12} &= b - r; \\ x_{11} &= -b; & y_{11} &= h - r; & l_{11} &= r \cdot \frac{\pi}{2}; \\ x_3 &= -b; & y_3 &= h - s; & l_3 &= s - r; \\ x_{21} &= \frac{h}{\tan \gamma} - \frac{r}{\tan(\gamma/2)}; & y_{21} &= h; & l_{21} &= x_{21}; \\ x_{22} &= \frac{h}{\tan \gamma} - \frac{r \cdot \cos \gamma}{\tan(\gamma/2)}; & y_{22} &= h - \frac{r \cdot \sin \gamma}{\tan(\gamma/2)}; & l_{22} &= r \cdot (\pi - \gamma); \\ x_c &= 0; & y_c &= 0; & l_c &= \frac{h}{\sin \gamma} - \frac{r}{\tan(\gamma/2)}. \end{aligned}$$

Центральные оси  $X, Y$  (рисунок 4) являются главными [5], если

$$I_{XY} = \int_{L/2} \delta(s) \cdot x(s) \cdot y(s) \cdot ds \Rightarrow 0,$$

$$\begin{aligned}
& (s-r) \cdot b \cdot \left( h - \frac{s+r}{2} \right) + \frac{(b-r)^2 \cdot h}{2} + \\
& + \frac{r^3}{2} + (h-r+b-r) \cdot r^2 + (h-r) \cdot (b-r) \cdot r \cdot \frac{\pi}{2} = \\
& = \frac{l_C \cdot x_{22} \cdot y_{22}}{3} + \frac{l_{21}^2 \cdot h}{2} + \\
& + r \cdot \left[ (x_{21} \cdot (\pi - \gamma) + r \cdot (1 + \cos \gamma)) \cdot (h-r) + \left( x_{21} + \frac{r \cdot \sin \gamma}{2} \right) \cdot r \cdot \sin \gamma \right].
\end{aligned}$$

Введем обозначения для относительных величин:

$$\begin{aligned}
\varepsilon &= \frac{r}{R_{max}}, \quad 0 < \varepsilon \leq 1; \\
\psi &= \frac{b}{h} \Rightarrow \frac{1}{\tan \gamma}; & r_h &= \frac{r}{h} \Rightarrow \varepsilon \cdot \psi \cdot \tan \left( \frac{\gamma}{2} \right); \\
x_{21}^h &= \frac{x_{21}}{h} \Rightarrow (1 - \varepsilon) \cdot \psi; & y_{22}^h &= \frac{y_{22}}{h} \Rightarrow 1 - \varepsilon \cdot \cos \gamma; \\
l_C^h &= \frac{l_C}{h} \Rightarrow \frac{y_{22}^h}{\sin \gamma}; & x_{22}^h &= \frac{x_{22}}{h} \Rightarrow y_{22}^h \cdot \psi. \\
s_h &= \frac{s}{h}, \quad \text{где} & r_h &< s_h < \frac{2 \cdot \tan(\gamma/2)}{\tan \gamma}; & \beta &= \pi - \gamma.
\end{aligned}$$

Тогда, задаваясь относительными значениями  $\gamma$  и  $\varepsilon$  для тонкостенного Z-образного сечения постоянной толщины  $\delta$  с учетом закругления и отбортовки относительно главных центральных осей XY (рисунок 4) относительные значения  $s_h$  определяются из решения квадратного уравнения:

$$\begin{aligned}
& (s_h - r_h) \cdot \frac{\psi}{2} \cdot (2 - s_h - r_h) + \frac{(\psi - r_h)^2}{2} + \\
& + r_h \cdot \left( \frac{r_h^2}{2} + (1 + \psi - 2 \cdot r_h) \cdot r_h + (1 - r_h) \cdot (\psi - r_h) \cdot \frac{\pi}{2} \right) - \frac{l_C^h \cdot x_{22}^h \cdot y_{22}^h}{3} - \frac{x_{21}^h \cdot x_{21}^h}{2} - \\
& - r_h \cdot \left[ \left( x_{21}^h \cdot \beta + r_h \cdot (1 + \cos \gamma) \right) \cdot (1 - r_h) + \left( x_{21}^h + \frac{r_h \cdot \sin \gamma}{2} \right) \cdot r_h \cdot \sin \gamma \right] = 0.
\end{aligned} \quad (1)$$

Относительная длина контура гнутого Z-образного профиля:

$$\frac{L}{H} = \frac{L/2}{h} \Rightarrow s_h + r_h \cdot \left( \frac{3}{2} \cdot \pi - 2 - \gamma \right) + \psi + x_{21}^h + l_C^h, \quad (2)$$

где  $L/2 = s - r + r \cdot \frac{\pi}{2} + b - r + x_{21} + r \cdot (\pi - \gamma) + l_C$ .

Главные осевые моменты инерции определяются по формулам:

$$I_X = \int_A y^2(s) \cdot dA \Rightarrow 2 \cdot \delta \cdot \int_{L/2} y^2(s) \cdot ds \Rightarrow$$

$$\begin{aligned} \Rightarrow 2 \cdot \delta \cdot \left\{ \frac{(s-r)^3}{12} + (s-r) \cdot \left( h - \frac{s+r}{2} \right)^2 + r^3 \cdot \frac{\pi}{4} + 2 \cdot (h-r) \cdot r^2 + (h-r)^2 \cdot r \cdot \frac{\pi}{2} + \right. \\ \left. (b-r+x_{21}) \cdot h^2 + \frac{1}{3} \cdot l_C \cdot y_{22}^2 + \int_0^\beta (h-r \cdot (1-\cos \alpha))^2 \cdot r \cdot d\alpha \right\}, \\ I_x \cdot \frac{1}{2 \cdot \delta \cdot h^3} \Rightarrow \frac{(s_h-r_h)^3}{12} + (s_h-r_h) \cdot \left( 1 - \frac{s_h+r_h}{2} \right)^2 + r_h^3 \cdot \frac{\pi}{4} + 2 \cdot (1-r_h) \cdot r_h^2 + \\ + (1-r_h)^2 \cdot r_h \cdot \frac{\pi}{2} + (\psi-r_h+x_{21}^h) + \frac{1}{3} \cdot l_C^h \cdot (y_{22}^h)^2 + \\ + r_h \cdot \left[ (1-r_h)^2 \cdot \beta + 2 \cdot (1-r_h) \cdot r_h \cdot \sin \beta + r_h^2 \cdot \left( \frac{\beta}{2} + \frac{\sin 2\beta}{4} \right) \right]; \quad (3) \end{aligned}$$

$$\begin{aligned} I_Y = \int_A x^2(s) \cdot dA \Rightarrow 2 \cdot \delta \cdot \int_{L/2} x^2(s) \cdot ds \Rightarrow \\ \Rightarrow 2 \cdot \delta \cdot \left\{ \frac{(b-r)^3}{3} + \frac{(x_{21})^3}{3} + \frac{l_C \cdot (x_{22})^2}{3} + r^3 \cdot \frac{\pi}{4} + 2 \cdot (b-r) \cdot r^2 + (b-r)^2 \cdot r \cdot \frac{\pi}{2} + \right. \\ \left. + (s-r) \cdot b^2 + \int_0^\beta (x_{21} + r \cdot \sin \alpha)^2 \cdot r \cdot d\alpha \right\}, \\ I_y \cdot \frac{1}{2 \cdot \delta \cdot h^3} \Rightarrow \frac{(\psi-r_h)^3}{3} + \frac{(x_{21}^h)^3}{3} + \frac{l_C^h \cdot (x_{22}^h)^2}{3} + r_h^3 \cdot \frac{\pi}{4} + 2 \cdot (\psi-r_h) \cdot r_h^2 + \\ + (\psi-r_h)^2 \cdot r_h \cdot \frac{\pi}{2} + (s_h-r_h) \cdot \psi^2 + \\ + r_h \cdot \left[ (x_{21}^h)^2 \cdot \beta + 2 \cdot x_{21}^h \cdot r_h \cdot (1-\cos \beta) + (r_h)^2 \cdot \left( \frac{\beta}{2} - \frac{\sin 2\beta}{4} \right) \right]. \quad (4) \end{aligned}$$

Главные осевые моменты сопротивления определяются по формулам:

$$W_x = \frac{I_x}{y_{max}} \Rightarrow \frac{1}{h} \cdot I_x, \quad (5)$$

$$W_y = \frac{I_y}{x_{max}} \Rightarrow \frac{1}{b} \cdot I_y = \frac{1}{\psi} \cdot \frac{1}{h} \cdot I_y, \quad (6)$$

Для нахождения главного секториального момента инерции  $I_\omega = \int_A \bar{\omega}^2(s) \cdot dA$  введем секториальные координаты  $\omega$  (удвоенная площадь сектора, где полюс и начальная точка отсчета выбраны в точке C):

$$\omega_C = \omega_{22} \Rightarrow 0;$$

$$\omega(s) \Rightarrow r^2 \cdot (\alpha - \sin \alpha) + l_C \cdot r \cdot (1 - \cos \alpha), \quad 0 \leq \alpha \leq \beta,$$

$$\omega_{21} = (l_C + \beta \cdot r + x_{21}) \cdot r \Rightarrow h^2 \cdot \left( (l_C^h + \beta \cdot r_h + x_{21}^h) \cdot r_h \right); \quad (7)$$

$$\omega_{12} = \omega_{21} + (b-r+x_{21}) \cdot h \Rightarrow h^2 \cdot \left( \frac{\omega_{21}}{h^2} + (\psi-r_h+x_{21}^h) \right); \quad (8)$$

$$\omega_{11} = \omega_{12} + \left( h - r + \frac{\pi}{2} \cdot r + x_{12} \right) \cdot r \Rightarrow$$

$$\Rightarrow h^2 \cdot \left( \frac{\omega_{12}}{h^2} + \left( 1 - r_h + \frac{\pi}{2} \cdot r_h + x_{12}^h \right) \cdot r_h \right); \quad (9)$$

$$\omega_3 = \omega_{11} + (s - r) \cdot b \Rightarrow h^2 \cdot \left( \frac{\omega_{11}}{h^2} + (s_h - r_h) \cdot \psi \right). \quad (10)$$

Секториальный статический момент:

$$S = \int_A \omega \cdot dA \Rightarrow 2 \cdot \delta \cdot \int_{L/2} \omega \cdot ds = 2 \cdot S_3,$$

$$S_C = S_{22} \Rightarrow 0;$$

$$S_{21} = \delta \cdot \left( l_C \cdot \beta + \frac{\beta^2}{2} \cdot r - h \right) \cdot r^2 \Rightarrow \delta \cdot h^3 \cdot \left( l_C^h \cdot \beta + \frac{\beta^2}{2} \cdot r_h - 1 \right) \cdot (r_h)^2;$$

$$S_{12} = S_{21} + \delta \cdot \frac{\omega_{12} + \omega_{21}}{2} \cdot (b - r + x_{21}) \Rightarrow$$

$$\Rightarrow \delta \cdot h^3 \cdot \left( \left( l_C^h \cdot \beta + \frac{\beta^2}{2} \cdot r_h - 1 \right) \cdot (r_h)^2 + \frac{\omega_{11} + \omega_{21}}{h^2} \cdot \frac{(\psi - r_h + x_{21}^h)}{2} \right);$$

$$S_{11} \approx S_{12} + \delta \cdot \frac{\omega_{12} + \omega_{11}}{2} \cdot r \cdot \frac{\pi}{2} \Rightarrow \delta \cdot h^3 \cdot \left( \frac{S_{12}}{\delta \cdot h^3} + \delta \cdot \frac{\omega_{12} + \omega_{11}}{2 \cdot h^2} \cdot r_h \cdot \frac{\pi}{2} \right);$$

$$S_3 = S_{11} + \delta \cdot \frac{\omega_3 + \omega_{11}}{2} \cdot (s - r) \Rightarrow \delta \cdot h^3 \cdot \left( \frac{S_{11}}{\delta \cdot h^3} + \delta \cdot \frac{\omega_3 + \omega_{11}}{2 \cdot h^2} \cdot (s_h - r_h) \right). \quad (11)$$

Постоянная  $D$ , определяющая главную начальную точку отсчета  $M_0$ :

$$D = \frac{S}{\int_A dA} \Rightarrow \frac{S_3}{\delta \cdot L/2} \Rightarrow h^2 \cdot \frac{\left( \frac{S_{11}}{\delta \cdot h^3} + \delta \cdot \frac{\omega_3 + \omega_{11}}{2 \cdot h^2} \cdot (s_h - r_h) \right)}{s_h + r_h \cdot \left( \frac{3}{2} \pi - 2 - \gamma \right) + \psi + x_{21}^h + l_C^h}; \quad (12)$$

Главные секториальные координаты:

$$\bar{\omega} = \omega - D.$$

### Библиографический список:

1. Волков В.П., Волкова О.В. Определение геометрических характеристик тонкостенного Z-образного стержня [Электронный ресурс] // Моделирование и механика конструкций. 2015. №1. URL: [http://mechanics.pguas.ru/Plone/nomera-zhurnala/no1/stroitel'naya-mechanika/opredelenie-geometricheskih-harakteristik-tonkostennogo-z-obraznogo-sterzhnya/at\\_download/file](http://mechanics.pguas.ru/Plone/nomera-zhurnala/no1/stroitel'naya-mechanika/opredelenie-geometricheskih-harakteristik-tonkostennogo-z-obraznogo-sterzhnya/at_download/file).

2. Волков В.П., Волкова О.В. Геометрические характеристики тонкостенного Z-образного стержня с закруглением [Электронный ресурс] //

Моделирование и механика конструкций. 2015. №2. URL: [http://mechanics.pguas.ru/Plone/nomera-zhurnala/no1/stroitel'naya-mechanika/opredelenie-geometricheskih-harakteristik-tonkostenogo-z-obraznogo-sterzhnya/at\\_download/file](http://mechanics.pguas.ru/Plone/nomera-zhurnala/no1/stroitel'naya-mechanika/opredelenie-geometricheskih-harakteristik-tonkostenogo-z-obraznogo-sterzhnya/at_download/file).

3. Волков В.П., Волкова О.В. Геометрические характеристики тонкостенного Z-образного стержня с закруглением для расчета на изгиб с кручением [Электронный ресурс] // Моделирование и механика конструкций. 2016. №3. URL: [http://mechanics.pguas.ru/Plone/nomera-zhurnala/no1/stroitel'naya-mechanika/opredelenie-geometricheskih-harakteristik-tonkostenogo-z-obraznogo-sterzhnya/at\\_download/file](http://mechanics.pguas.ru/Plone/nomera-zhurnala/no1/stroitel'naya-mechanika/opredelenie-geometricheskih-harakteristik-tonkostenogo-z-obraznogo-sterzhnya/at_download/file).

4. Волков В.П., Кустова О.В. Геометрические характеристики тонкостенного Z-образного стержня с отбортовкой [Электронный ресурс] // Моделирование и механика конструкций. 2016. №4. URL: [http://mechanics.pguas.ru/Plone/nomera-zhurnala/no1/stroitel'naya-mechanika/opredelenie-geometricheskih-harakteristik-tonkostenogo-z-obraznogo-sterzhnya/at\\_download/file](http://mechanics.pguas.ru/Plone/nomera-zhurnala/no1/stroitel'naya-mechanika/opredelenie-geometricheskih-harakteristik-tonkostenogo-z-obraznogo-sterzhnya/at_download/file).

5. Александров А.В., Потапов В.Д., Державин Б.П. Сопротивление материалов: учеб. для вузов. М: Высш. шк., 1995. 560 с.

6. Волков В.П., Волкова О.В., Земцова О.Г. Геометрические характеристики тонкостенного Z-образного стержня без закругления // Эффективные строительные конструкции: теория и практика: Сборник статей XV Международной научно-технической конференции. 2015. С. 42-46.